

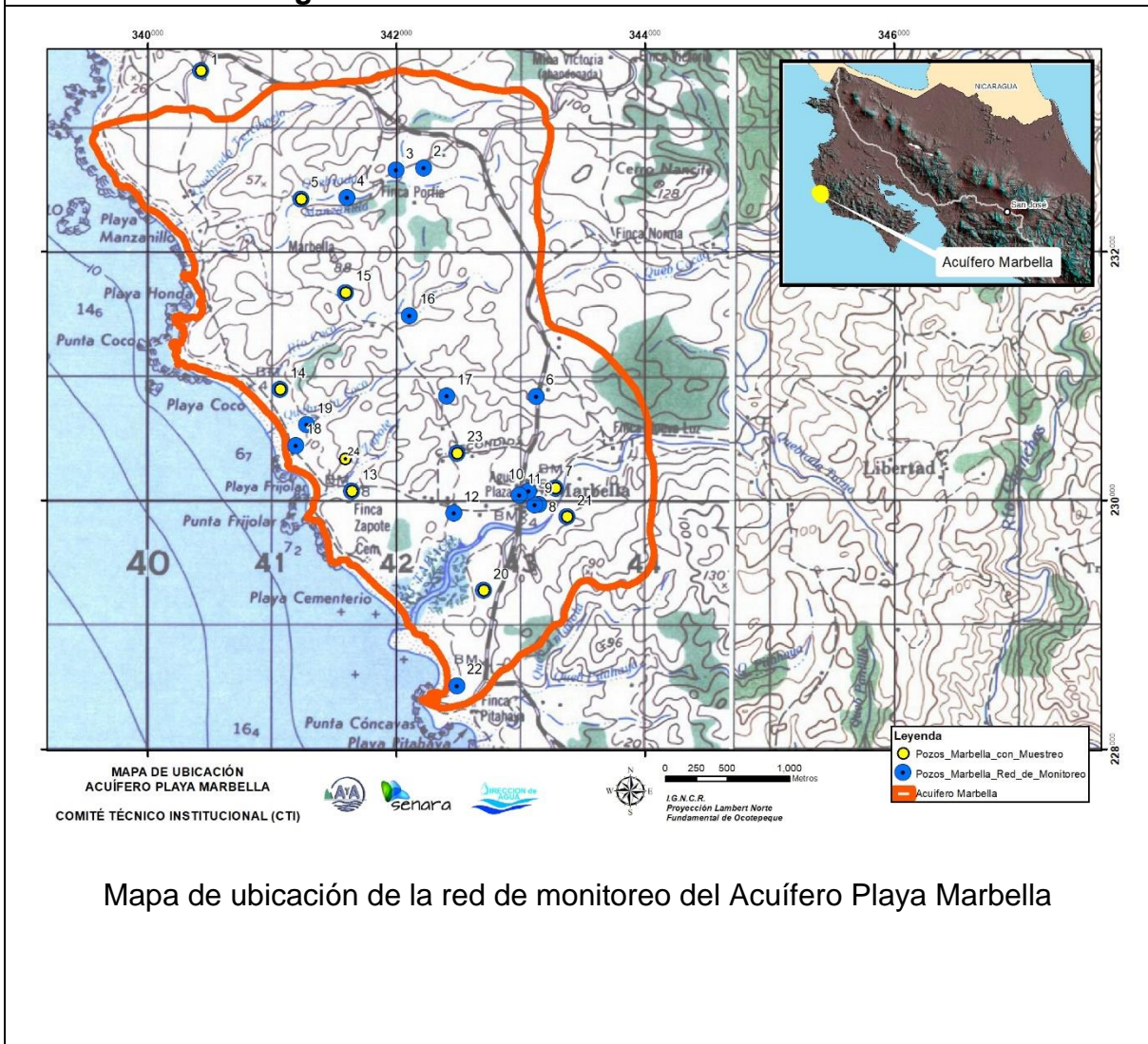


Comisión Técnica Interinstitucional para la Gestión de Acuíferos  
**Seguimiento del comportamiento del Acuífero Playa Marbella**

**Seguimiento al Comportamiento del Acuífero Playa Marbella**

Registro Histórico	Febrero 2019-Setiembre 2019
Período de actualización	Setiembre 2019
Objetivo del análisis	Analizar la variación del nivel del agua del acuífero y del comportamiento de la calidad del agua

**Figura de ubicación de la red de monitoreo**



Mapa de ubicación de la red de monitoreo del Acuífero Playa Marbella



Comisión Técnica Interinstitucional para la Gestión de Acuíferos  
**Seguimiento del comportamiento del Acuífero Playa Marbella**

**Gráficos comparativos del comportamiento histórico de las variaciones del nivel de agua subterránea**

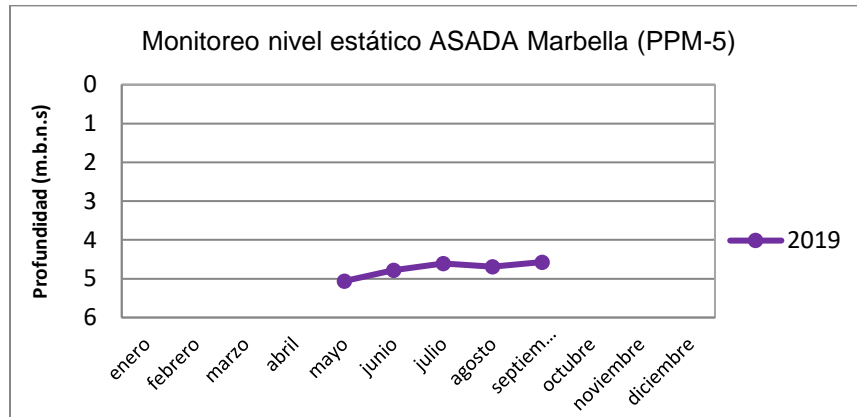


Gráfico 1: Niveles estáticos registrados en el pozo ASADA Marbella (PPM - 5)

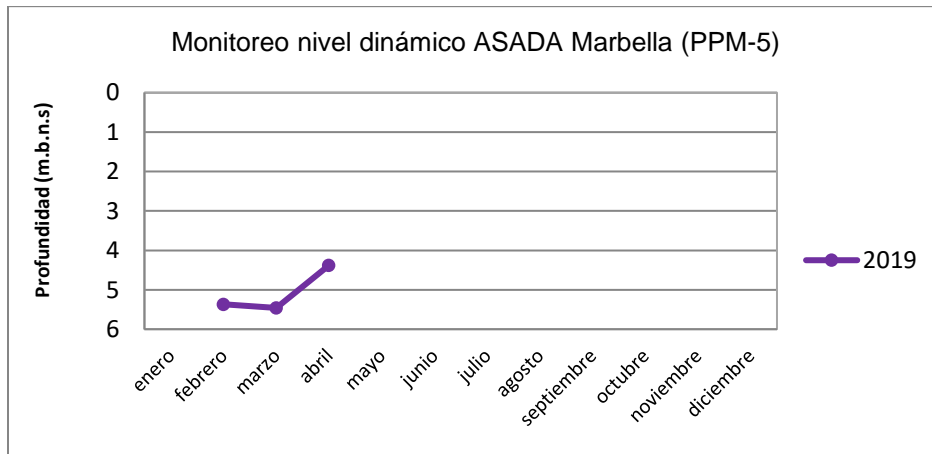


Gráfico 2: Niveles dinámicos registrados en el pozo ASADA Marbella (PPM - 5)



**Comisión Técnica Interinstitucional para la Gestión de Acuíferos**  
**Seguimiento del comportamiento del Acuífero Playa Marbella**



Gráfico 3: Niveles estáticos registrados en el pozo Perforado (PAM-6)

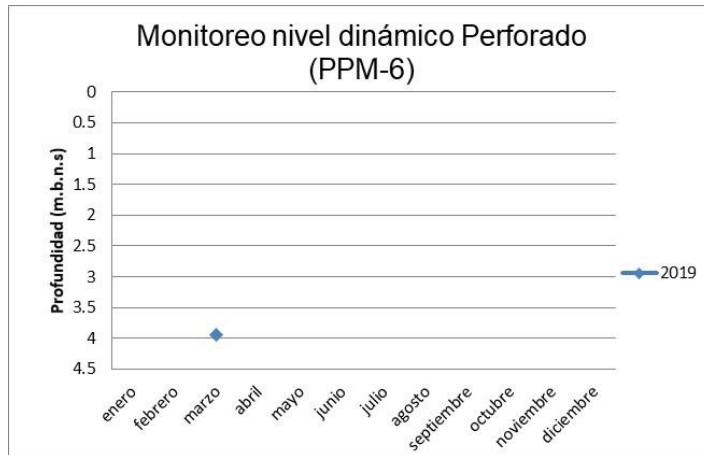


Gráfico 4: Niveles dinámicos registrados en el pozo Perforado (PAM-6)



Comisión Técnica Interinstitucional para la Gestión de Acuíferos  
**Seguimiento del comportamiento del Acuífero Playa Marbella**

**Cuadro comparativo del comportamiento histórico de las variaciones de la conductividad eléctrica en el acuífero**

Cuadro 1: Red de pozos Playa Hermosa - Datos de Conductividad Eléctrica  $\mu\text{S/cm}$

N°	Nombre del POZO	Nombre (muestreo)	Longitud	Latitud	27/11/17	10/1/19	17/7/19
1	Juan-1	Pozo Juan	340425	233457	s.d.	269	299
5	MA-48 PPM-3	Pozo MA48	341233	232424	s.d.	319	311
7	ASADA Marbella	Pozo ASADA Marbella	343278	230100	315	351	669
13	PAM-11 (Juan Artesanal 2)	Pozo Artesanal 2	341640	230074	s.d.	296	281
14	MA-6 PPM-8 (Luca)	Pozo MA8	341064	230893	s.d.	563	636
15	Lomas del Sol	Pozo Lomas del Sol	341590	231672	414	430	353
20	PAM-16 (Artesanal Omar)	Pozo Artesanal Omar	342700	229275	s.d.	264	279
21	Vista Bella	Pozo Costa Dorada MA-49	343372	229868	s.d.	358	s.d.
23	Posada del Sol	Pozo ASADA Posada del Sol	342489	230381	275	265	286
24	Pozo Jardín del Sol	Pozo Jardín del Sol	341588	230333	s.d.	423	307

Pozo solo con muestreo, no se mide pues está sellado

Conductividad Eléctrica ( $\mu\text{S/cm}$ )

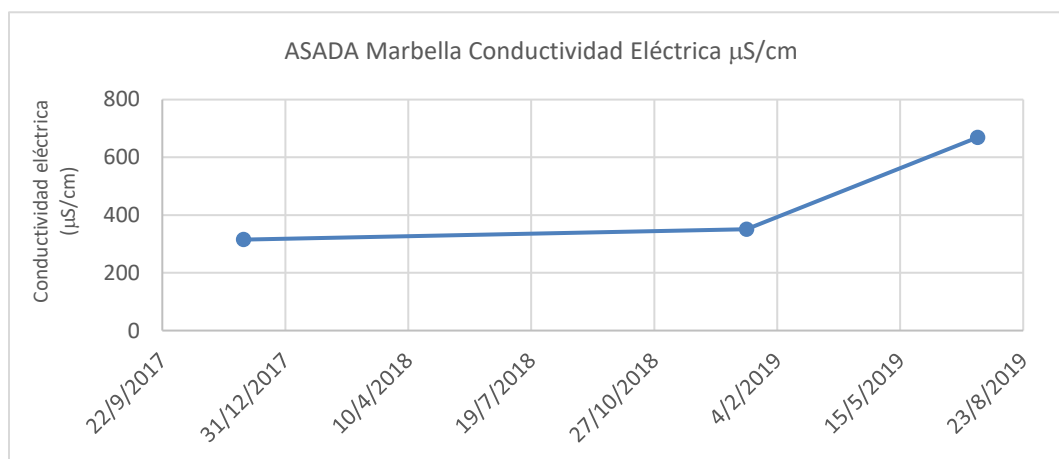


Gráfico 5: Comportamiento histórico de la conductividad eléctrica del agua en el Pozo ASADA Marbella



**Comisión Técnica Interinstitucional para la Gestión de Acuíferos**  
**Seguimiento del comportamiento del Acuífero Playa Marbella**

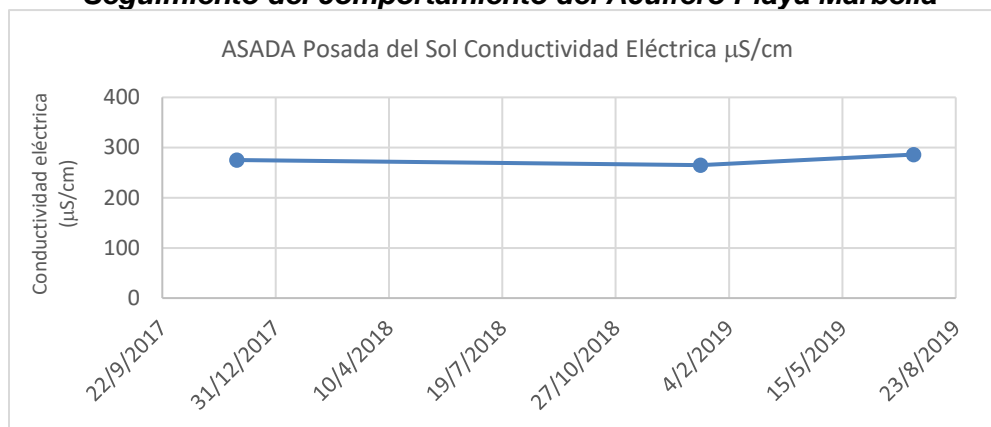


Gráfico 6: Comportamiento histórico de la conductividad eléctrica del agua en el Pozo ASADA Posada del Sol.

### Análisis de resultados

La Red de Monitoreo de niveles de aguas en el Acuífero de Playa Marbella, cuenta con 23 pozos para el Monitoreo Manual de Agua Subterránea, con el cual se observan las variaciones de la profundidad del agua en función del tiempo, y correlacionarla con el aumento o disminución de precipitación y/o extracción.

Como se observa en los Gráficos 1, 2, 3 y 4, el registro de niveles en este acuífero es muy reciente, por lo que el mismo aún no completa un ciclo hidrológico.

Según los datos registrados en campo, los niveles más profundos (6 m.b.n.s.) de agua subterránea se ha registrado en los meses de marzo a mayo, correspondiendo con el periodo de estación seca. En la estación lluviosa actual, el nivel más somero (2 m.b.n.s.) se ha registrado en el mes de julio.

En el caso de la conductividad eléctrica, el Gráfico 5 representa un pozo ubicado en una zona dentro del área de influencia de mareas, donde el mar ingresa por la desembocadura del río Tabaco, y luego hacia el pozo. En este caso, los valores de este parámetro se oscilan entre 315  $\mu\text{S/cm}$  y 670  $\mu\text{S/cm}$ .

El Gráfico 6 representa un pozo (Posada del Sol) ubicado en un sector fuera de la influencia de las mareas, donde la conductividad eléctrica varía de 275  $\mu\text{S/cm}$  y 286  $\mu\text{S/cm}$ .

Presentado:

Diciembre 2019 / minuta CI-011-2019